

京都大学防災研究所 正員 松岡 元
 (現大阪工試験所) 〃 橋本 正
 〃 菅野安男

地盤や土構造物を線型弾性体と仮定してその応力，変形状態を解析する
 ことには異論があるが，適切な弾性係数E，ポアソン比νが与えられ
 るならば，才1次近似としてはかなり現実に近い解が得られるものと
 期待される。ここでは，種々の応力状態のもとで検証されている松岡
 の構成式^{1),2)}にもとづいて，E，νを推定する方法を提案する。

1. 土の応力～ひびき関係 モーブリイズ面上の土のダイレイタンスー現象
 の解析にもとづいて，相異なる主応力下の土の主応力比～主ひびき
 関係式として次式を得^{1),2)}。

$$\epsilon_1 = f(\sigma_1/\sigma_3) + f(\sigma_2/\sigma_3), \quad \epsilon_2 = f(\sigma_2/\sigma_3) + g(\sigma_1/\sigma_3), \quad \epsilon_3 = g(\sigma_1/\sigma_3) + g(\sigma_2/\sigma_3) \dots (1)$$

ここに， $\epsilon_1, \epsilon_2, \epsilon_3$ は最大，中間，最小主ひびき， $\sigma_1, \sigma_2, \sigma_3$ は
 最大，中間，最小主応力を表わす。それと，

$$f\left(\frac{\sigma_1}{\sigma_3}\right) = \frac{\gamma_0 \exp\left(\frac{\mu}{\mu'-\mu}\right)}{2} \cdot \exp\left\{\frac{X}{2(\mu'-\mu)}\right\} \left\{ \frac{X^2}{8} + \left(\frac{1}{2} - \frac{1}{\lambda} - \frac{\mu'-\mu}{2}\right)X + (\mu'-\mu)^2 - (\mu'-\mu) + \frac{\mu'}{\lambda} + 1 \right\}$$

$$g\left(\frac{\sigma_2}{\sigma_3}\right) = \frac{\gamma_0 \exp\left(\frac{\mu}{\mu'-\mu}\right)}{2} \cdot \exp\left\{\frac{X}{2(\mu'-\mu)}\right\} \left\{ \frac{X^2}{8} + \left(\frac{1}{2} - \frac{1}{\lambda} - \frac{\mu'-\mu}{2}\right)X - (\mu'-\mu)^2 - (\mu'-\mu) + \frac{\mu'}{\lambda} - 1 \right\}$$

ただし， $X = \sqrt{\sigma_2/\sigma_3} - \sqrt{\sigma_1/\sigma_3}$ ($i < j$)。λ, μ, μ', γ₀ は土によ
 る状態ごとの係数である。

(1)式より下記の条件下での応力～ひびき関係式は次式で与えられる。

平面ひびき (plane strain, $\epsilon_2 = 0$) 条件: $\epsilon_1 \cong f\left(\frac{\sigma_1}{\sigma_3}\right), \quad \epsilon_3 \cong g\left(\frac{\sigma_1}{\sigma_3}\right) \dots (2)$

三軸圧縮 (comp. $\sigma_1 \geq \sigma_2 = \sigma_3$) 条件: $\epsilon_1 = 2f\left(\frac{\sigma_1}{\sigma_3}\right), \quad \epsilon_3 = g\left(\frac{\sigma_1}{\sigma_3}\right) \dots (3)$

三軸伸張 (ext. $\sigma_1 = \sigma_2 \geq \sigma_3$) 条件: $\epsilon_1 = f\left(\frac{\sigma_1}{\sigma_3}\right), \quad \epsilon_3 = 2g\left(\frac{\sigma_1}{\sigma_3}\right) \dots (4)$

図-1 に上式による計算された主応力比～主ひびき関係を示
 す (λ=1.2, μ=0.25, μ'=0.44, γ₀=0.1%; 密な豊浦砂に該当する係数)。

またK₀圧密状態のように初期の主応力比が1より低い状態からせん
 断を受ける場合には，図-2 に示すように近似的には計算曲線も
 平行移動すればよいことが検証されている³⁾。すなわち，σ_{1i}, σ_{3i}
 は初期の最大，最小主応力とすれば，平面ひびき条件の場合は次式となる。

$$\epsilon_1 \cong f\left(\frac{\sigma_1}{\sigma_3}\right) - f\left(\frac{\sigma_{1i}}{\sigma_{3i}}\right), \quad \epsilon_3 \cong g\left(\frac{\sigma_1}{\sigma_3}\right) - g\left(\frac{\sigma_{1i}}{\sigma_{3i}}\right) \dots (5)$$

2. 土のE, νの推定法 線型弾性体の応力～ひびき関係は平
 面ひびき，三軸圧縮，三軸伸張条件下でそれぞれ次式で表わされる。

平面ひびき条件: $\epsilon_1 = (1-\nu^2)\sigma_1 - \nu(\sigma_2 + \sigma_3)/E, \quad \epsilon_3 = (1-\nu^2)\sigma_3 - \nu(\sigma_1 + \sigma_2)/E \dots (6)$

三軸圧縮条件: $\epsilon_1 = (\sigma_1 - 2\nu\sigma_3)/E, \quad \epsilon_2 = \epsilon_3 = \{(\sigma_1 - \nu)\sigma_3 - \nu\sigma_1\}/E \dots (7)$

三軸伸張条件: $\epsilon_1 = \epsilon_2 = \{(\sigma_1 - \nu)\sigma_1 - \nu\sigma_3\}/E, \quad \epsilon_3 = (\sigma_3 - 2\nu\sigma_1)/E \dots (8)$

(2)式と(6)式，(3)式と(7)式，(4)式と(8)式より，ν, Eはそれぞれ

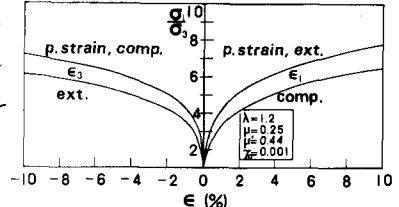


図-1 主応力比～主ひびき関係の計算曲線

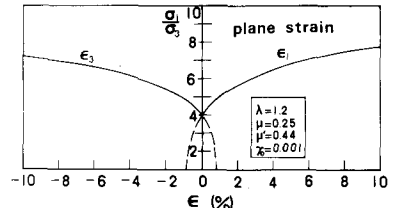


図-2 初期主応力比が1の場合の主応力比～主ひびき関係

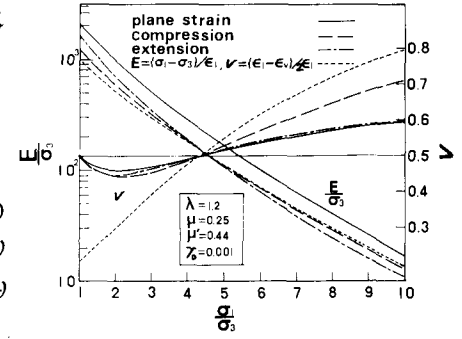


図-3 各種条件下の E/σ₃, ν ~ σ₁/σ₃ 関係

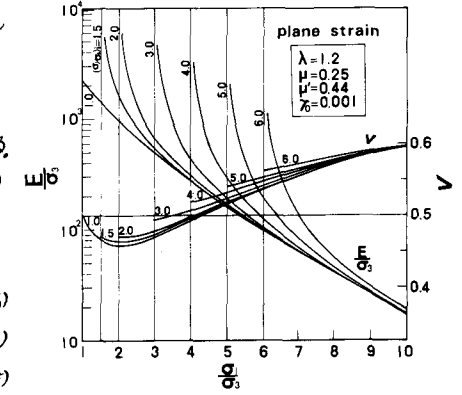


図-4 初期主応力比をパラメータとして E/σ₃, ν ~ σ₁/σ₃ 関係

次式で表わされる。

$$\text{平面ひずみ条件: } \nu = \frac{f(\sigma_3) - g(\sigma_3) \cdot \sigma_3}{(1 + \sigma_3) \{ f(\sigma_3) - g(\sigma_3) \}} \quad \left. \begin{array}{l} \\ \\ \end{array} \right\} \text{--- (9)}$$

$$E/\sigma_3 = \{ (1 - \nu) \cdot \sigma_3 - \nu(1 + \nu) \} / f(\sigma_3)$$

$$\text{三軸圧縮条件: } \nu = \frac{2 \cdot f(\sigma_3) - g(\sigma_3) \cdot \sigma_3}{2 \{ (1 + \sigma_3) \cdot f(\sigma_3) - g(\sigma_3) \}} \quad \left. \begin{array}{l} \\ \\ \end{array} \right\} \text{--- (10)}$$

$$E/\sigma_3 = (\sigma_3 - 2\nu) / 2 \cdot f(\sigma_3)$$

$$\text{三軸伸張条件: } \nu = \frac{f(\sigma_3) - 2 \cdot g(\sigma_3) \cdot \sigma_3}{2 \{ f(\sigma_3) \cdot \sigma_3 - (1 + \sigma_3) g(\sigma_3) \}} \quad \left. \begin{array}{l} \\ \\ \end{array} \right\} \text{--- (11)}$$

$$E/\sigma_3 = \{ (1 - \nu) \cdot \sigma_3 - \nu \} / f(\sigma_3)$$

図-3は(9), (10), (11)式によって計算された E/σ_3 , ν と主応力比 σ_3 の関係を示している。なお、図中の点線は Duncan 他による定義とした E/σ_3 , ν の計算結果を示すが、 ν は 11.2 はかなり異なるとみられる。 $\sigma_3 = 10$ 付近計算してあるが、実際には $\sigma_3 = 3$ ($\phi = 30^\circ$) ~ 5 ($\phi = 42^\circ$) 程度以下が対象になるものと思われる。図-4は平面ひずみ条件の場合に ν と、初期の主応力比 $(\sigma_3)_i$ が 1.0 ~ 6.0 のときの ν と E/σ_3 の計算結果を示している。この計算は(5)式の各右辺に(9)式の $f(\sigma_3)$, $g(\sigma_3)$ の $\nu = 3$ へ代入して行った。図-5, 6, 7 はそれぞれ係数 λ , μ , μ' を変化した場合の ν , E/σ_3 の値を計算したものである。

次に、 E , ν の推定手順を具体的に示す。まず土の状態をある程度で行った三軸試験等によって係数 ($\lambda, \mu, \mu', \gamma_0$) を推定する。 (λ, μ, μ') は土がさまればほぼ一定とみられる係数、 γ_0 は初期の粒子構造を評価する係数である。次にこの係数値を用いて図-3, 図-4のよう図を描く。このとき対象とする地盤の変形条件(平面ひずみ, 軸対称, 等), 初期の主応力比(等圧圧密: $(\sigma_3)_i = 1$, K_0 圧密: $(\sigma_3)_i = 1/K_0$, 等)なども考慮する。さらに対象とする土の主応力比(あるいは主ひずみ)を推定して、図-1の ν と E/σ_3 の値を定める。そして対象とする地点の σ_3 の大略の値を推定して E を求めるわけである。ここで、 E が σ_3 (拘束圧を参考してもよいであろう) によって変化することに留意すべきである。なお、(1)式はガイレタズーによるひずみを表現しているため、圧縮性の大きい土の場合には圧密によるひずみも考慮しなければならぬと思われる。このことは比較的容易に行なえるが、紙面の都合で省略する。

謝辞 御指導を賜わっている京大・村山朝郎教授、計算の一部を手伝っていただいた京大研究生 中井照夫君に感謝致します。

参考文献

- 1) 松岡 元: 多軸応力下の土の応力~ひずみ関係について, 第8回土質工学研究発表会, 1973, pp. 227-230.
- 2) 松岡 元: 3主応力下の土の応力~ひずみ関係について, 京大防災研究所年報 第16号B, 1973.
- 3) 松岡 元・橋本 正: 多軸試験機の試作とその測定結果の解析について, 第8回土質工学研究発表会, 1973, pp. 231-234.
- 4) Duncan J. M. and Chang C. Y.: Nonlinear Analysis of Stress and Strain in Soils, Proc. A.S.C.E., 1970; SMS, pp. 1629-1653.

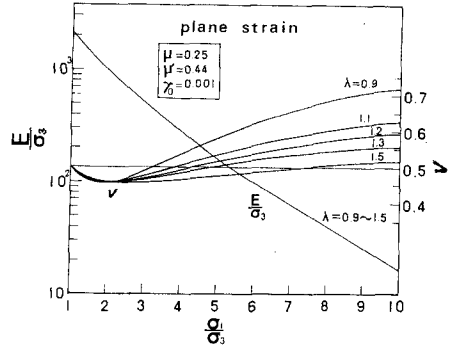


図-5 λ を変化した場合の $E/\sigma_3, \nu \sim \sigma_3$ 関係

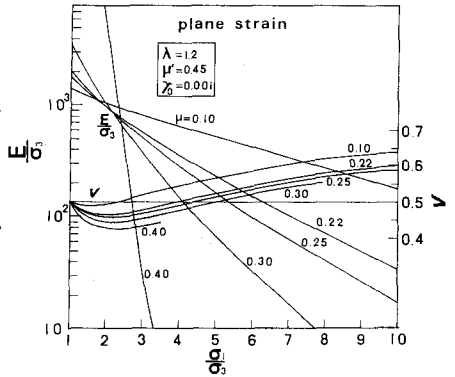


図-6 μ を変化した場合の $E/\sigma_3, \nu \sim \sigma_3$ 関係

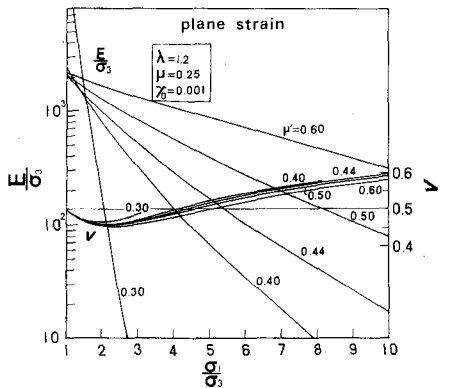


図-7 μ' を変化した場合の $E/\sigma_3, \nu \sim \sigma_3$ 関係